

Pointé automatique du temps d'arrivé des ondes P et S
Rapport terminal de projet informatique
1A EOST

Bastien PITOISET et Valentin CASSAYRE

5 mai 2023

Table des matières

1	Introduction	2
2	Acquisition des données	2
3	Fonction caractéristique	2
3.1	Modification du signal	3
3.1.1	Transformées simples	3
3.1.2	Enveloppe de Stewart	3
3.1.3	Enveloppe supérieure et approximation géométrique	4
3.1.4	Enveloppe de Allen	4
3.1.5	Enveloppe de Baer et Kradolfer	4
3.2	Calcul de fonctions caractéristiques	5
3.2.1	Méthode STA/LTA	5
3.2.2	Algorithme d'Allen	6
3.2.3	Z-détecteur et algorithme de Baer et Kradolfer	7
4	Détection et pointage	8
4.1	Détection	8
4.2	Pointage	10
5	Conclusion et discussion	11
6	Code source	11
6.1	Exemple	11
6.2	Code Python	12
6.3	Code C	18

1 Introduction

La libération d'énergie lors d'un séisme génère des ondes qui vont se propager différemment selon leurs caractéristiques. Les ondes de surfaces transmettent la plus grande partie de l'énergie relâchée, mais ne se propagent qu'à la surface de la Terre. Les ondes de volume, plus rapides, se propagent à l'intérieur de la Terre. Des ondes de volume, nous pouvons distinguer les ondes de compression, les ondes P, des ondes de cisaillement, les ondes S. Les ondes P sont les ondes les plus rapides avec une vitesse de propagation de 6km/s près de la surface de la Terre.

L'ensemble de ces champs d'ondes peuvent être mesurées au niveau de capteurs sismiques, par exemple dans une station de surveillance sismique. Ces stations enregistrent en continu les déplacements du sol et ces mesures permettent de détecter d'éventuels séismes à la suite d'analyses. Et la détermination du temps d'arrivée des différentes ondes est une étape essentielle dans l'analyse de ces signaux. Le temps d'arrivée d'une onde correspond au début de sa phase, période pendant laquelle l'onde est enregistrée. Cette identification est très importante dans divers domaines, il permet par exemple de localiser le foyer ou de récolter des données sur la structure intérieure de la Terre.

L'objet de ce projet est donc de réaliser un programme permettant de détecter un séisme puis de pointer automatiquement le début des phases P et S.

Il existe trois grandes familles d'algorithmes de détection et de pointage automatique [d'après Cuenot (2003)] :

- Les algorithmes de détection par calcul de l'énergie comparent chaque valeur avec la moyenne des valeurs qui la précèdent.
- Les algorithmes basés sur des méthodes autorégressives recherchent les modélisations du bruit et du signal sismique.
- Les algorithmes utilisant des réseaux de neurones artificiels, après une phase d'apprentissage, sont capables de détecter les différentes ondes sismiques.

Pour ce projet nous avons choisi de travailler avec les algorithmes de détection par calcul de l'énergie. Ce sont historiquement ces algorithmes qui ont été utilisés en premier dans les années 80. Ils présentent l'avantage d'être les plus simples et de pouvoir à la fois détecter un potentiel séisme et de pointer le début des phases sismiques.

Ces algorithmes sont basés sur un signal d'entrée qui peut-être corrigé ou modifié et calculent une fonction caractéristique de ce signal. Cette fonction qui caractérise le signal peut ensuite être utilisée pour détecter un potentiel séisme et pour pointer ses différentes phases.

2 Acquisition des données

Nous avons choisi de travailler essentiellement avec le langage Python, un langage haut niveau qui présente de nombreux modules notamment dans le domaine de la sismologie. Nous nous sommes basés sur des enregistrements de séismes locaux autour de Strasbourg par des stations à proximité. Les données sont celles du RéSiF et ont été chargées avec le module Obspy. Un traitement de base a été effectué au préalable consistant en un filtre passe bande entre les fréquences de 2 Hz et 10 Hz. Le signal obtenu est ensuite stocké dans deux arrays Numpy, le temps dans *times* et l'amplitude correspondante dans *data* et le module Obspy n'est plus utilisé dans la suite, l'intérêt étant de présenter ces algorithmes.

3 Fonction caractéristique

La famille d'algorithme étudiée ici consiste en une analyse de l'énergie des champs d'onde incidents et de son évolution au cours du temps. Allen (1978) a introduit le concept de fonction caractéristique, qui caractérise un signal. Elle est obtenue par une ou plusieurs transformations non linéaires du sismogramme et doit augmenter brusquement au moment de l'arrivée d'un champ d'onde sismique.

Elle se base sur un signal qui peut-être modifié ou corrigé. Dans notre cas, nous avons déjà corrigé le signal notamment en le filtrant. La modification du signal s'effectue par des transformations non linéaires. En général les signaux modifiés sont positifs et sont donc appelés enveloppe par abus de langage.

3.1 Modification du signal

3.1.1 Transformées simples

W. Vanderkulk (1965) introduit l'utilisation de la valeur absolue du signal comme enveloppe. Cette approximation permettait de faire des économies de calcul significatives par rapport au carré des valeurs des amplitudes. Mais l'augmentation de la puissance de calculs a permis de retirer cette barrière. Allen (1978) généralise l'utilisation du carré des valeurs des amplitudes pour calculer la fonction caractéristique. Ces deux transformations correspondent aux transformations non linéaires les plus simples permettant d'aboutir à un signal positif, mais ne prennent pas en compte les valeurs voisines et donc les variations.

3.1.2 Enveloppe de Stewart

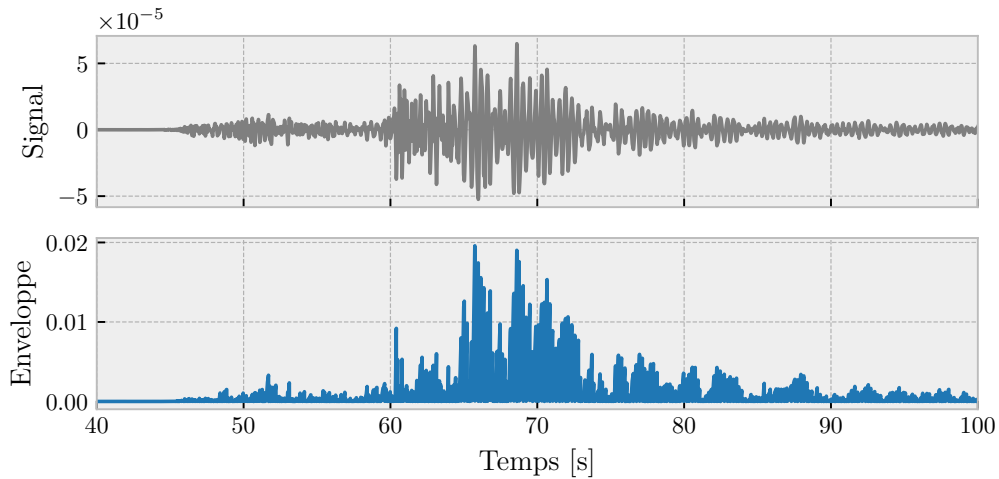


FIGURE 1 – Comparaison de l'enveloppe de Stewart (bleu) au signal d'entrée (gris).

Stewart (1977) a utilisé une enveloppe modifiée mdx basée sur la dérivée des données mettant en évidence les changements de pente. La valeur de mdx est calculée à partir d'une estimation de la dérivée dx en chaque point [d'après Withers (1982)] :

$$dx_i = x_i - x_{i-1} \quad (1)$$

Si le signe de dx a été constant pour moins de 8 valeurs consécutives, alors

$$mdx_i = mdx_i + dx_i \quad (2)$$

Sinon,

$$mdx_i = dx_i \quad (3)$$

Cette transformation permet de mettre en avant les variations. Il agit en quelque sorte comme un filtre passe haut, et est particulièrement utile pour des signaux bruts, donc l'intérêt est limité étant donné que notre signal a déjà été filtré.

3.1.3 Enveloppe supérieure et approximation géométrique

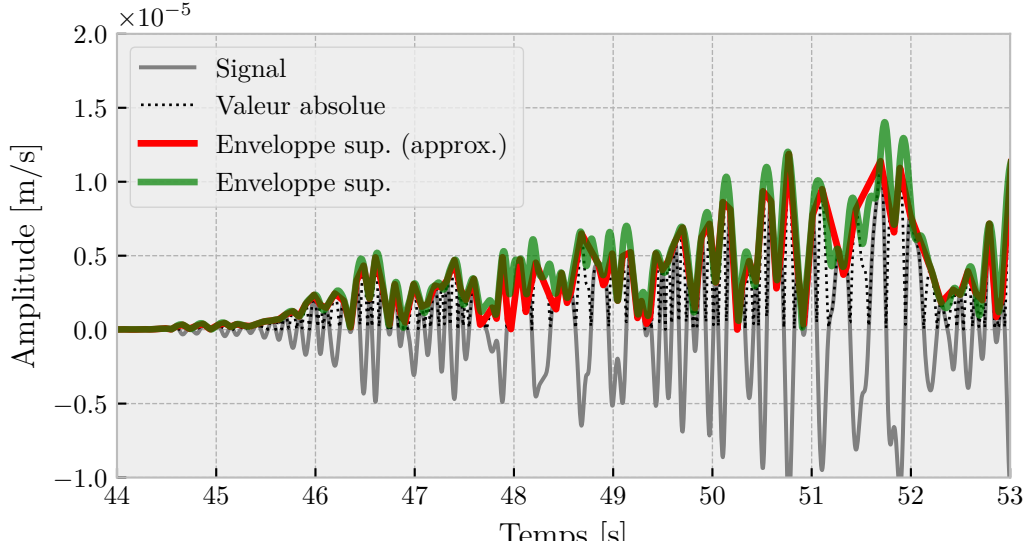


FIGURE 2 – Comparaison de l'enveloppe du signal (gris) obtenue à partir d'une transformée de Hilbert (vert) ou d'une méthode géométrique (rouge). La valeur absolue (noir pointillé) permet de distinguer la nuance avec l'enveloppe.

D'autres auteurs utilisent l'enveloppe classique appelée enveloppe supérieure, une courbe lisse qui décrit les amplitudes extrêmes du signal. Elle est définie par rapport à la transformation de Hilbert. Mais elle peut être approximée par des méthodes géométriques, par exemple en gardant la valeur absolue d'extremums locaux du signal.

En ne gardant que les points correspondant aux extremums locaux du signal initial et sans faire d'interpolation, nous réduisons grandement le nombre de points. Une autre conséquence est que les points ne sont plus espacés linéairement ce qui rajoute de la complexité et une source d'erreur pour la suite des algorithmes.

3.1.4 Enveloppe de Allen

Allen (1982) définit une nouvelle enveloppe [d'après Küperkoch (2010)]

$$E_i^2 = x_i^2 + C_i \times (x_i^2 - x_{i-1}^2) \quad (4)$$

avec C_i un coefficient tel que

$$C_i = \frac{\sum_{j=1}^i |x_j|}{\sum_{j=1}^i |x_j - x_{j-1}|} \quad (5)$$

Cette enveloppe approxime l'enveloppe supérieure sans pour autant réduire le nombre de points ni même d'avoir à réaliser une transformée de Hilbert (figure 3).

3.1.5 Enveloppe de Baer et Kradolfer

M. Baer (1987) proposent une amélioration de l'enveloppe d'Allen définit ainsi (figure 3) [d'après Küperkoch (2010)]

$$E_i^2 = x_i^2 + C_i \times (\dot{x}_i^2) \quad (6)$$

avec C_i un coefficient tel que

$$C_i = \frac{\sum_{j=1}^i x_j^2}{\sum_{j=1}^i x_j^2} \quad (7)$$

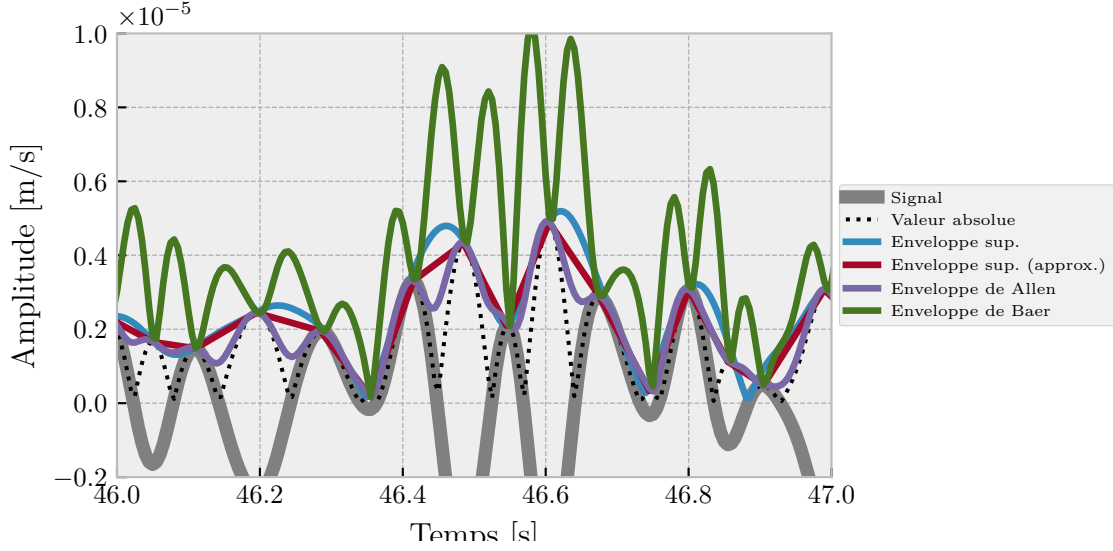


FIGURE 3 – Comparaison de différentes enveloppes calculées à partir du même signal (gris). La valeur absolue (noir pointillé), l'enveloppe supérieure (bleu), l'approximation géométrique de l'enveloppe supérieure (rouge), l'enveloppe de Allen (violet) et de l'enveloppe de Baer et Kradolfer (vert).

3.2 Calcul de fonctions caractéristiques

3.2.1 Méthode STA/LTA

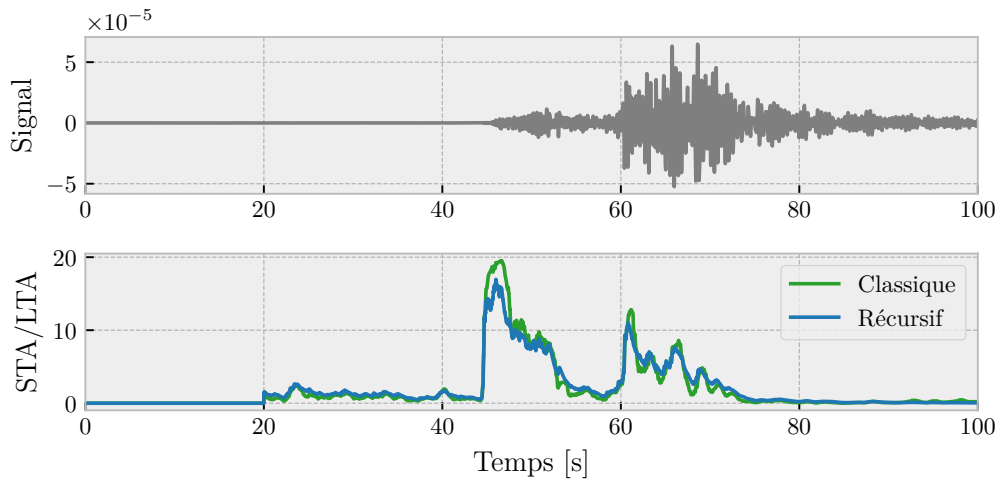


FIGURE 4 – Comparaison de la fonction caractéristique STA/LTA obtenue par méthode classique (vert) et récursive (bleu) en utilisant des largeurs de fenêtres de 2 et 10s.

Une grande partie des algorithmes de calcul de fonction caractéristique se basent sur la méthode appelée STA/LTA. Cette méthode consiste à comparer la moyenne à court terme (STA = Short Term Average) avec la moyenne à long terme (LTA = Long Term Average). À court terme, nous mesurons en quelque sorte l'amplitude instantanée du signal. À long terme, nous mesurons plutôt l'amplitude locale du bruit de fond. Le rapport entre les deux permet de comparer ces deux grandeurs. Nous constatons que la fonction obtenue caractérise bien le signal puisqu'on observe 2 pics correspondant au début de la phase P et de la phase S, figure 4. Cet algorithme se base donc sur deux paramètres qui sont la longueur des fenêtres STA et LTA, respectivement $nsta$ et $nlta$. Dans la littérature nous trouvons généralement que la longueur de la fenêtre de LTA est 20 à 100 fois plus grande que la longueur de la fenêtre STA [d'après Küperkoch (2010), M. Vassallo (2012), Zhu. Weiqiang (2018)]. Le principal défaut de cet algorithme c'est qu'il est coûteux en calcul en raison des nombreuses moyennes mobiles. Ce coût se fait particulièrement ressentir en utilisant un langage de haut niveau, ici Python. Si nous considérons un signal de n points, auquel nous voulons calculer des moyennes glissantes de largeur n_f , il faudrait réaliser $n - n_f - 1$ somme de n_f éléments soit un total de $(n - n_f - 1) \times n_f$ opérations d'addition puis $n - n_f - 1$ opérations de divisions pour calculer les moyennes glissantes en chaque point. Une solution qui permet de limiter ce nombre consiste à calculer les moyennes mobiles à partir de la somme cumulée des valeurs des amplitudes du signal. En effet en utilisant une somme cumulée, nous devons réaliser $n - 1$ opérations d'addition pour calculer la somme cumulée puis seulement $n - n_f - 1$ opérations d'addition pour calculer les sommes spécifiques à chaque point, pour enfin calculer la moyenne en divisant $n - n_f - 1$ fois. La méthode classique utilise donc pour un grand nombre d'opérations environ $n \times n_f$ opérations d'addition contre seulement $2 \times n_f$ opérations d'additions en utilisant les sommes cumulées. Nous avons $2 \times n_f > n \times n_f$ pour $n_f > 2$, qui est toujours atteint. L'implémentation du calcul des moyennes glissantes d'un signal *data* à partir d'une somme cumulée peut se faire efficacement en utilisant le module Numpy :

```
import numpy as np

cumsum_data = np.cumsum(data)

moyennes[nf:] = (cumsum_data[nf] - cumsum_data[:-nf])/nf
```

3.2.2 Algorithme d'Allen

Allen (1982) propose un nouvel algorithme qui approxime l'algorithme STA/LTA trop coûteux en calculs, en calculant les coefficients STA et LTA par la relation de récurrence [d'après Cuenot (2003), Khalaf (2016), Gaol (2021)] :

$$STA_i = STA_{i-1} + \frac{1}{nsta}(E_i^2 - STA_{i-1}) \quad (8)$$

$$LTA_i = LTA_{i-1} + \frac{1}{nlta}(E_i^2 - LTA_{i-1}) \quad (9)$$

avec E_i^2 le signal d'entrée, $nsta$ et $nlta$ les largeurs des intervalles STA et LTA.

Cette approximation astucieuse permet de réduire le nombre de calculs à également $2 \times n_f$ opérations d'addition pour chaque moyenne mobile. Même si elle a comme limite qu'elle caractérise moins le signal d'entrée, le pic est légèrement moins marqué lors de l'arrivée du champ d'ondes et elle bruite la fonction caractéristique, il y a plusieurs pics au niveau du maximum global, figure 4.

Nous avons jusqu'à présent traduit ces algorithmes en Python, un langage haut niveau, pour des raisons d'aisance et de simplicité. Mais pour augmenter d'avantage l'efficacité de calcul de notre programme, nous pouvons le traduire dans un langage plus bas niveau. Nous avons choisi le langage C, qui présente une bonne compatibilité avec Python.

```

#include <stdlib.h>

float *stalta_recurziv(float *data, int nsta, int nlta, int N)
{
    float *fc = malloc((sizeof(float) * N));
    float sta, lta;
    sta = 0;
    lta = 0;

    int i;
    for (i = 0; i < N; i++)
    {
        sta = (*(data + i) - sta) / nsta + sta;
        lta = (*(data + i) - lta) / nlta + lta;
        if (i > nlta && lta != 0)
            *(fc + i) = sta / lta;
        else
            *(fc + i) = 0;
    }

    return fc;
}

```

Pour réaliser la passerelle entre Python et C, nous utilisons le module *ctypes*. Le code C doit d'abord être compilé

```

gcc -c -Wall -Werror -fPIC `python-config --cflags` stalta.c
gcc -shared -o stalta.so stalta.o `python-config --ldflags`

```

Puis il peut être chargé en Python

```

import ctypes

stalta_c = ctypes.CDLL('./stalta.so')

stalta_c.stalta_recurziv.argtype = (ctypes.POINTER(ctypes.c_float * n),
    ctypes.c_int, ctypes.c_int, ctypes.c_int)
stalta_c.stalta_recurziv.restype = ctypes.POINTER(ctypes.c_float * n)

fc_allen_recurziv_ptr = stalta_c.stalta_recurziv((ctypes.c_float * n)(*sqa_data),
    nsta, nlta, n) # exécution de la fonction
fc_allen_recurziv = fc_allen_recurziv_ptr.contents

```

En comparant les temps d'exécution d'un signal de 36000 points avec des fenêtres de 200 et 4000 points, nous obtenons 0.07s en Python, poussé à 0.06s en utilisant une array Numpy, contre 0.01s en C. Pour donner un ordre de comparaison, l'algorithme STA/LTA classique écrit entièrement en Python a un temps d'exécution de plusieurs secondes (sans l'utilisation de Numpy). Nous avons ainsi résolu les problèmes de la puissance de calcul engendré par cet algorithme.

3.2.3 Z-détecteur et algorithme de Baer et Kradolfer

Swindell et Snell (1977) proposent le Z-détecteur, une méthode de calcul basé sur une unique fenêtre contrairement à la méthode STA/LTA. Cette fonction caractéristique estime l'écart des données

sismiques à la valeur-moyenne, exprimée en unité de son écart-type [d'après Withers (1982), Cuenot (2003), Küperkoch (2010)]

$$Z_i = \frac{STA_i - \mu}{\sigma} \quad (10)$$

avec STA_i la moyenne glissante de la fenêtre, μ la moyenne et σ l'écart-type des moyennes des fenêtres STA.

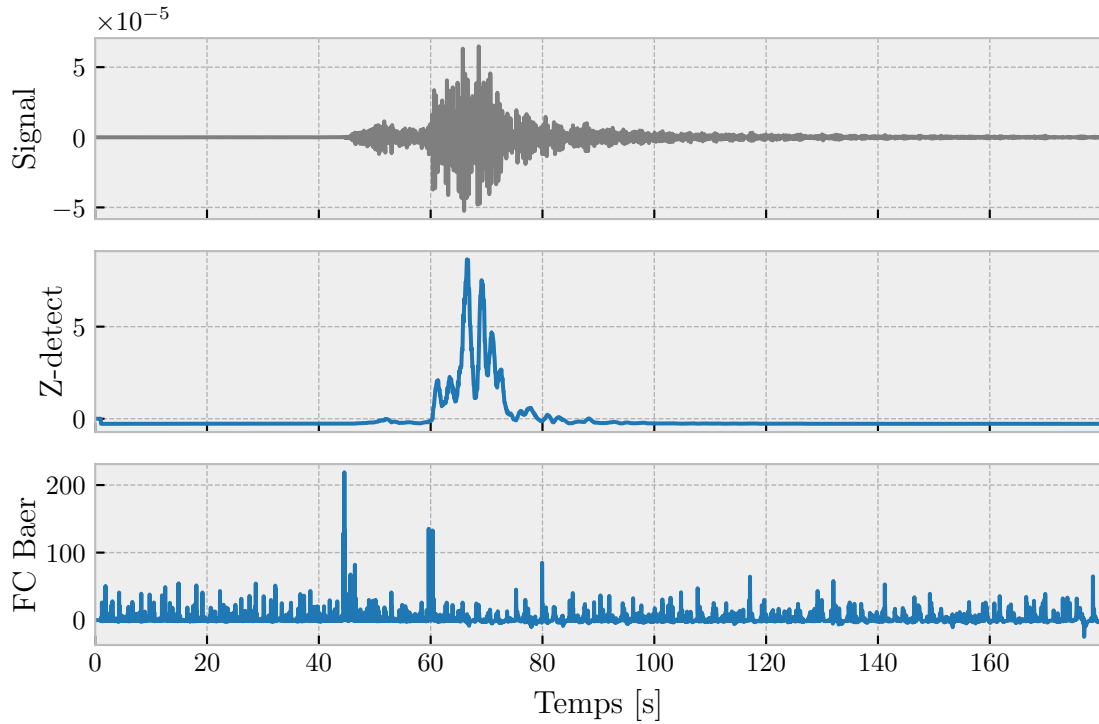


FIGURE 5 – Comparaison de la fonction caractéristique de Swindell et Snell avec celle de Baer et Kradolfer

M. Baer (1987) introduisent une variante

$$FC_i = \frac{E_i^4 - \bar{E}_i^4}{\sigma(E_i^4)} \quad (11)$$

avec \bar{E}_i^4 la moyenne de E^4 sur l'intervalle de la fenêtre choisie et $\sigma(E_i^4)$ l'écart-type de E^4 sur l'intervalle de la fenêtre choisie. Cette autre fonction caractéristique présentent des pics très marqués lors du début des phases P et S, mais présentent beaucoup de bruit, qui pourraient être liés à la fenêtre choisie trop petite.

4 Détection et pointage

4.1 Détection

Contrairement au calcul de fonctions caractéristiques vu précédemment, la détection d'un éventuel séisme implique l'introduction de différents paramètres qui dépendent de la nature et la localisation du

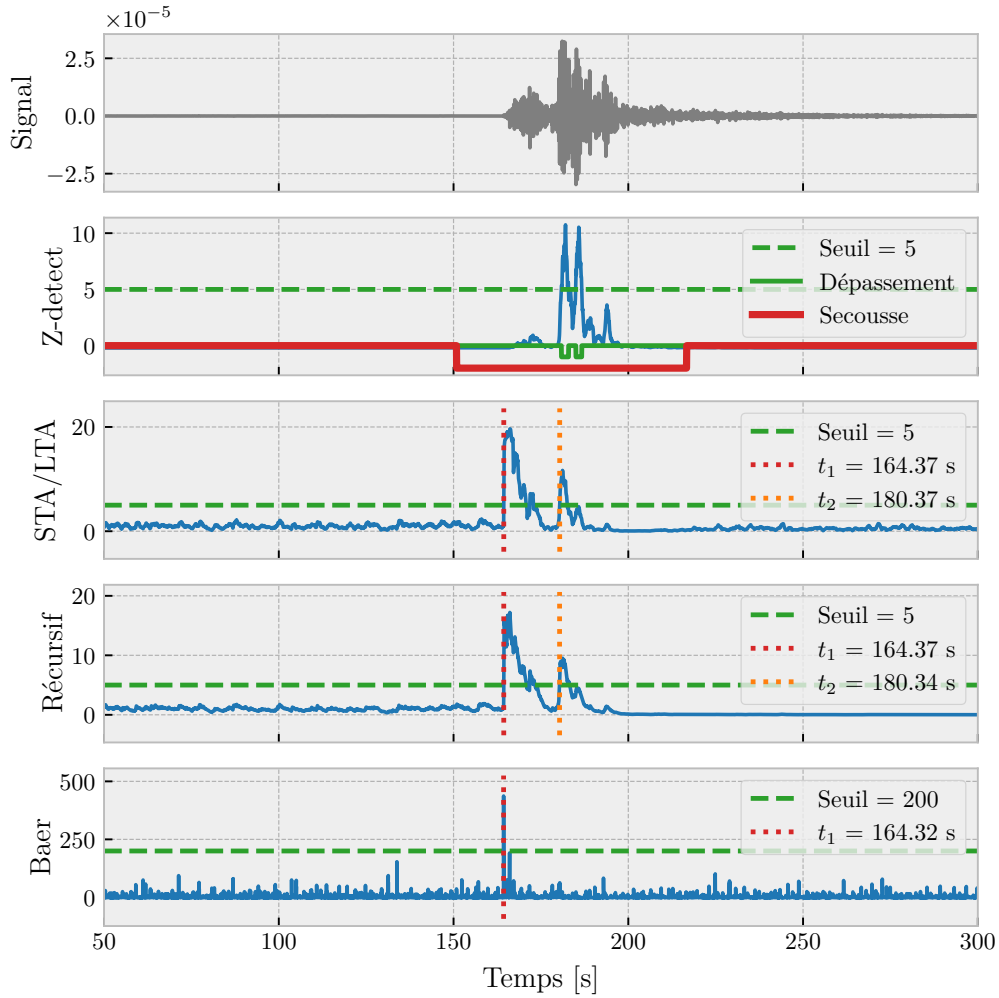


FIGURE 6 – Visualisation de la détection et du pointage du séisme induit de Strasbourg du 26 juin 2021 de magnitude 4. Le signal d'entrée (gris) correspond à l'enregistrement de la vitesse de déplacement du sol au niveau de la station permanente d'Illfurth (ILLF) traité. Les fonctions caractéristiques de ce signal (bleu) sont représentées avec leurs seuils respectifs (vert pointillé).

séisme. Par exemple, nous pouvons considérer un premier seuil qui permet de déclencher des opérations de vérification. Mais ensuite il faut vérifier que le seuil est dépassé pendant une certaine durée. De la même façon nous pouvons introduire de nombreux paramètres.

Ces paramètres se déduisent de la littérature mais varient beaucoup d'une publication à une autre. Ils sont ajustés à partir de données de pointages manuels sur les échantillons de séismes qu'on cherche à étudier. Ces ajustements s'éloignant du "projet informatique" nous avons limité le nombre de paramètres. Le Z-détecteur présente l'avantage de s'adapter automatiquement à la variance du bruit fond [d'après Withers (1982)]. Ainsi les paramètres de détection varient peu et cette fonction caractéristique est intéressante à utiliser pour la détection de séismes plus que pour le pointage, même si les autres fonctions caractéristiques auraient également pu être utilisées pour jouer ce rôle de détection.

Notre algorithme se base d'abord sur la détection du séisme en vérifiant que le seuil est dépassé pendant une certaine période. Si c'est le cas, nous pouvons considérer qu'il y a un séisme et l'algorithme va sélectionner un intervalle en se basant sur un deuxième seuil plus faible et en élargissant cet intervalle. En sortie nous avons l'intervalle de temps correspondant à la secousse à partir duquel nous

pourrions pointer le début des phases sismiques en se basant sur d'autres fonctions caractéristiques.

4.2 Pointage

Le pointage est dépendant de la détection, il a lieu que si un séisme est détecté et prend en compte l'intervalle de temps supposé correspondre à la secousse. Nous gardons tous les intervalles où le seuil d'amplitude est dépassé par une nouvelle fonction caractéristique et qui correspondent à l'intervalle supposé de la secousse précédent. Pour chacun de ces nouveaux intervalles, nous calculons le maximum local d'amplitude de l'intervalle et le début de l'intervalle. Nous trions les intervalles par ordre décroissante par rapport à leur maximum, pour ensuite ne garder que les temps de début d'intervalles. Nous obtenons ainsi plusieurs temps de pointages, normalement deux, correspondant à l'arrivée des ondes P puis S.

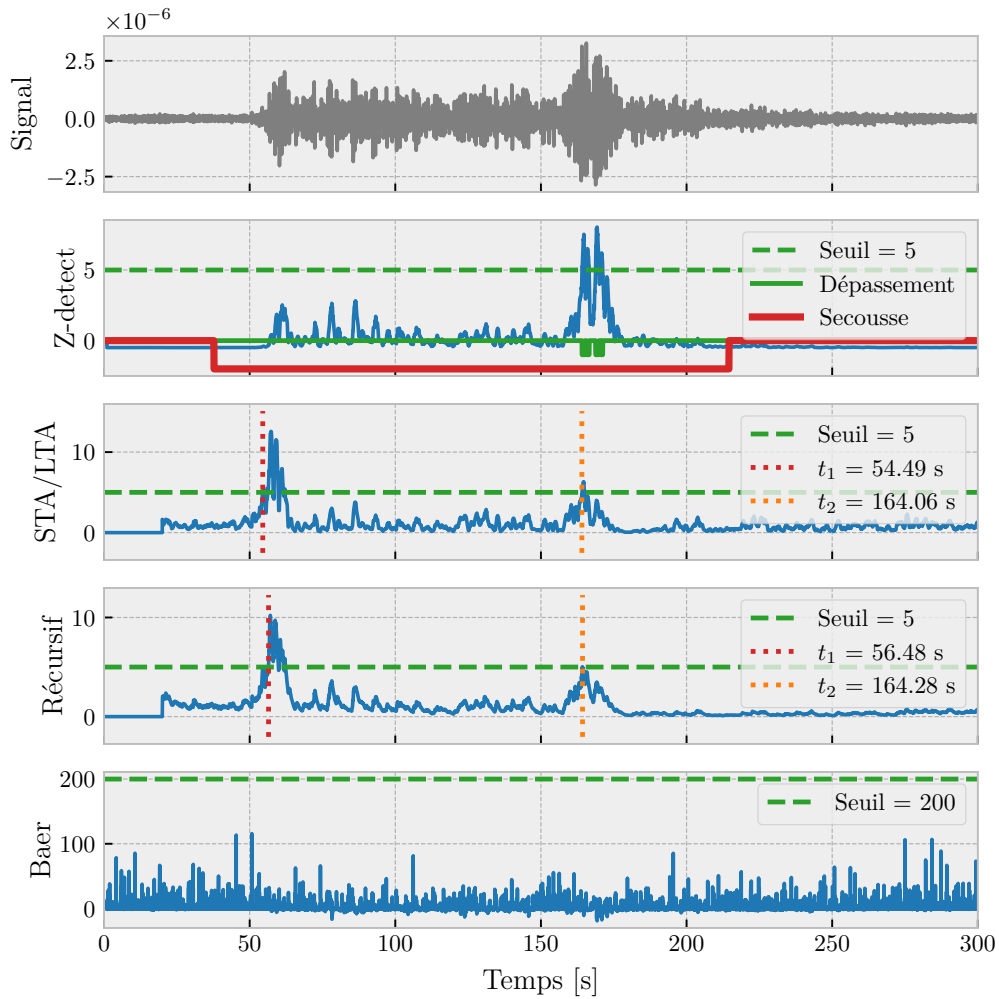


FIGURE 7 – Visualisation de la détection et du pointage du séisme turc du 6 février 2023 de magnitude 8. Le signal d'entrée (gris) correspond à l'enregistrement de la vitesse de déplacement du sol au niveau de la station permanente d'Illfurth (ILLF) traité. Les fonctions caractéristiques de ce signal (bleu) sont représentées avec leurs seuils respectifs (vert pointillé).

5 Conclusion et discussion

L'objectif de détection d'un séisme et de pointage des ondes P et S de façon automatique a été atteint dans une certaine mesure. Nous constatons que cette méthode fonctionne particulièrement bien pour les séismes régionaux comme le montre la figure 6, un séisme de magnitude 4 à 100 km de la station. La détection permet d'isoler un intervalle relativement précis de la période de secousse. Le pointage est cohérent pour diverses fonctions caractéristiques, il y a des écarts de l'ordre de la centaine voire de la dizaine de millisecondes. Néanmoins nous constatons que la fonction caractéristique de M. Baer (1987) ne permet pas de pointer le début de la phase S, alors que le pic est très marqué pour le début de la phase P. Nous avons également essayé d'implémenter d'autres fonctions caractéristiques comme celle de Carl, sans succès, du fait du nombre important de paramètres. La méthode classique STA/LTA s'avère particulièrement efficace, et sa variante récursive montre des résultats similaires.

Mais cette méthode n'est plus aussi efficace pour des séismes lointains. En effet, nous voyons sur la figure 7 que le pointage n'est plus aussi précis pour un séisme de magnitude 8 à plus de 3000 km de la station sismique. Cette baisse de précision s'explique naturellement par la plus faible amplitude du signal, il est plus bruité. Le signal bruité obstrue donc les variations d'amplitudes liées aux débuts des phases, en particulier celles de la phase S dont le pointage semble être décalée avec plusieurs secondes de retard.

Cependant, des ajustements peuvent être réalisés pour augmenter la précision de pointage. En effet, nous avons introduit un grand nombre de paramètres qui dépendent de la nature des séismes. Parmi ces paramètres, nous pouvons citer les largeurs des fenêtres STA et LTA, les seuils de détection et de pointage, et la durée minimale de détection. Nous pouvons également rappeler que les fonctions caractéristiques sont calculées à partir d'un signal modifié appelé enveloppe, et le choix de cette enveloppe constitue également un paramètre important.

6 Code source

6.1 Exemple

```

1  from picker import *
2  from obspy import UTCDateTime
3  from obspy.clients.fdsn import Client
4
5  # Chargement des données
6  starttime = UTCDateTime(2021, 6, 26, 2, 58, 0)
7  duration = 5*60 # secondes
8  station = "ILLF" # station d'Illkirch
9  client = Client("RESIF") # Réseau français
10 S = client.get_waveforms(network="FR", station="ILLF", location="00", channel="HH*", starttime=starttime,
11 inventory = client.get_stations(network="FR", station=station, channel="HH*", starttime=starttime, level="F")
12
13 # Correction du signal
14 pre_process_data(S, inventory)
15
16 # On garde les arrays des temps et des amplitudes
17 T = S.select(channel="HHZ")[0]
18 times = T.times(type='relative')
19 data = T.data
20
21 # Paramétrage de la taille de la fenêtre
22 tlta = 20
23 tsta = 1

```

```

24 nsta, nlta = nstalta_from_times(times, tsta, tlta)
25
26 # Calcul des enveloppes
27 sqa_data = data**2
28 fc_stewart = mdx_stewart(times, data, 10)
29 allen_data = allen_envelope_np(data)
30 baer_data = baer_envelope_np(times, data)
31
32 # Calcul des fonctions caractéristiques
33 fc_allen = stalta_allen_np(allen_data, nsta, nlta)
34 fc_allen_recurziv = stalta_recurziv(allen_data, nsta, nlta)
35 z = z_swindell_snell(sqa_data, nsta)
36 fc_baer = z_baer_kradolfer(baer_data, nsta)
37
38 # Détection
39 threshold = 5
40 potentials = potential_waves(times, z, threshold=threshold, tol=1, delta=3)
41 earthquake = any(potentials)
42
43 # Pointage et affichage
44 if earthquake:
45     earthquake_loc = potential_waves(times, z, threshold, tol=10, delta=3, before=30, after=30)
46
47     potentials = potential_waves(times, fc_allen, threshold, tol=1)
48     picks = point_potentials(fc_allen, potentials)
49     picks = possible_picks(picks, earthquake_loc)
50
51     print(f'Un séisme a été détecté avec {len(picks)} débuts de phases pointées.')
52     for pick in picks:
53         time = times[pick]
54         print(f't={time}, soit à {(starttime + time).strftime("%H:%M:%S.%f")}.')
55
56 else:
57     print('Pas de séisme détecté sur ce signal.')

```

6.2 Code Python

```

1 import numpy as np
2
3
4 def pre_process_data(S, inventory):
5     """Corrige le signal grâce au module Obspy (objets Obspy)"""
6     S.attach_response(inventory)
7     for T in S:
8         # Conversion en signal alternatif (moyenne nulle)
9         T.detrend("demean")
10
11         # Filtrage passe-bande
12         T.filter("bandpass", freqmin=2, freqmax=10)
13
14         # Conversion l'unité du signal de counts en vitesse (optionnel)
15         gain = T.meta.response.instrument_sensitivity.value
16         T.data = T.data/gain
17
18
19 def derivate(times, data):
20     """Calcul la dérivée temporelle du signal"""
21     der_data = [0]

```

```

22     n = len(data)
23
24     for k in range(n-1):
25         dy = (data[k+1] - data[k])
26         dt = (times[k+1] - times[k])
27         der_data.append(dy/dt)
28
29     return np.array(der_data)
30
31
32 def derivate_np(times, data):
33     """Calcul la dérivée temporelle du signal de façon optimisée"""
34     n = len(data)
35     der_data = np.zeros(n)
36
37     der_data[1:] = np.diff(data)/np.diff(times)
38
39     return der_data
40
41
42 def mdx_stewart(times, data, n_check=8):
43     """Calcul l'enveloppe modifiée de Stewart"""
44     n = len(data)
45     dx = derivate(times, data)
46     mdx = np.zeros(n)
47     n_good = 0
48
49     for i in range(1, n):
50         if np.sign(dx[i-1]) == np.sign(dx[i]):
51             n_good += 1
52         else:
53             n_good = 0
54
55         if n_good > n_check:
56             mdx[i] = mdx[i-1]+dx[i]
57         else:
58             mdx[i] = dx[i]
59
60     return mdx
61
62
63 def envelope_approx(times, data):
64     """Calcul l'enveloppe géométrique du signal"""
65     env_times = []
66     env_data = []
67     n = len(data)
68
69     for k in range(1, n-1):
70         v1 = data[k] - data[k-1]
71         v2 = data[k] - data[k+1]
72
73         # ce point est un extremum local (un "pic")
74         if v1 > 0 and v2 > 0 or v1 < 0 and v2 < 0:
75             env_times.append(times[k])
76             env_data.append(abs(data[k]))
77
78     return np.array(env_times), np.array(env_data)
79
80
81 def envelope_approx_np(times, data):
82     """Calcul l'enveloppe géométrique du signal de façon optimisée"""

```

```

83     indices = np.nonzero(np.diff(np.sign(np.diff(data))))[0]+1
84
85     env_times = times[indices]
86     env_data = np.abs(data[indices])
87
88     return env_times, env_data
89
90
91 def allen_envelope(data):
92     """Calcul l'enveloppe de Allen du signal"""
93     allen_data = [0]
94     n = len(data)
95
96     ci = sum(abs(x) for x in data) / \
97         sum(abs(data[i]-data[i-1]) for i in range(n))
98
99     for i in range(1, n):
100         allen_data.append(data[i]**2+ci*(data[i]-data[i-1])**2)
101
102     return np.array(allen_data)
103
104
105 def allen_envelope_np(data):
106     """Calcul l'enveloppe de Allen du signal de façon optimisée"""
107     allen_data = np.zeros(len(data))
108
109     ci = np.sum(np.abs(data))/np.sum(np.abs(np.diff(data)))
110     allen_data[1:] = data[1:]**2 + ci*np.diff(data)**2
111
112     return allen_data
113
114
115 def baer_envelope(times, data):
116     """Calcul l'enveloppe de Baer et Kradolfer du signal"""
117     baer_data = [0]
118     n = len(data)
119     der_data = derivate(times, data)
120     sqa_data = data**2
121     sqa_der_data = der_data**2
122
123     ci = sum(sqa_data)/sum(sqa_der_data)
124
125     for i in range(n):
126         baer_data.append(sqa_data[i]+ci*sqa_der_data[i])
127
128     return baer_data
129
130
131 def baer_envelope_np(times, data):
132     """Calcul l'enveloppe de Baer et Kradolfer du signal de façon optimisée"""
133     sqa_data = data**2
134     sqa_der_data = derivate(times, data)**2
135
136     ci = np.sum(sqa_data)/np.sum(sqa_der_data)
137
138     baer_data = sqa_data+ci*sqa_der_data
139
140     return baer_data
141
142
143 def nstalta_from_times(times, tsta, tlta):

```

```

144     """Convertit les durées des fenêtres STA et LTA en nombre de points"""
145     dt = times[1] - times[0]
146
147     nsta = int(tsta/dt)
148     nlta = int(tlta/dt)
149
150     return nsta, nlta
151
152
153 def stalta_allen(data, nsta, nlta):
154     """Calcul la fonction caractéristique d'Allen"""
155     fc = [0]*(nlta-1)
156     n = len(data)
157
158     for k in range(n-nlta+1):
159         i1 = k
160         i2 = k + nlta
161         im = i2 - nsta
162
163         # L'utilisation de la moyenne de Numpy réduit considérablement les calculs
164         sta = np.average(data[im:i2])
165         lta = np.average(data[i1:i2])
166
167         fc.append(sta/lta)
168
169     return fc
170
171
172 def stalta_allen_np(data, nsta, nlta):
173     """Calcul la fonction caractéristique d'Allen de façon optimisée"""
174     n = len(data)
175     fc = np.zeros(n)
176     sta = np.zeros(n)
177     lta = np.zeros(n)
178
179     # Calcul de la somme cumulée
180     cumsum_data = np.cumsum(data)
181
182     # Calcul des moyennes glissantes de STA et LTA à partir de la somme cumulée
183     sta[nsta:] = (cumsum_data[nsta:] - cumsum_data[:-nsta])/nsta
184     lta[nlta:] = (cumsum_data[nlta:] - cumsum_data[:-nlta])/nlta
185
186     # Le rapport STA/LTA est calculé pour les termes non nuls
187     indices = lta.nonzero()
188     fc[indices] = sta[indices] / lta[indices]
189
190     return fc
191
192
193 def stalta_recurziv(data, nsta, nlta):
194     """Calcul la fonction caractéristique d'Allen de façon réursive"""
195     sta = 0
196     lta = 0
197     fc = np.zeros(len(data))
198
199     # Pour calculer les moyennes glissantes on doit calculer dès le 1er terme
200     # même si on ne garde après que les termes après nlta
201     for i, y in enumerate(data):
202         sta = (y - sta)/nsta + sta
203         lta = (y - lta)/nlta + lta
204

```

```

205         if i >= nlta and lta != 0:
206             fc[i] = sta / lta
207
208     return fc
209
210
211 def z_swindell_snell(data, nsta):
212     """Calcul la fonction caractéristique de Swindell et Snell"""
213     n = len(data)
214     z = np.zeros(n)
215     sta = np.zeros(n)
216
217     for k in range(nsta, n):
218         sta[k] = np.average(data[k-nsta:k])
219
220     mu = np.average(sta)
221     # théorème de König-Huygens
222     sqa_sigma = np.sqrt(np.average(sta**2) - mu**2)
223
224     for k in range(nsta, n):
225         if sqa_sigma != 0:
226             z[k] = (sta[k] - mu)/sqa_sigma
227
228     return z
229
230
231 def z_swindell_snell_np(data, nsta):
232     """Calcul la fonction caractéristique de Swindell et Snell de façon optimisée"""
233     n = len(data)
234     fc = np.zeros(n)
235     sta = np.zeros(n)
236
237     cumsum_data = np.cumsum(data)
238     sta[nsta:] = (cumsum_data[nsta:] - cumsum_data[:-nsta])/nsta
239
240     mu = np.average(sta)
241     sqa_sigma = np.sqrt(np.average(sta**2) - mu**2)
242
243     indices = sqa_sigma.nonzero()
244     fc[indices] = (sta - mu)/sqa_sigma
245
246     return fc
247
248
249 def z_baer_kradolfer(data, nsta):
250     """Calcul la fonction caractéristique de Baer et Kradolfer"""
251     n = len(data)
252     fc = np.zeros(n)
253
254     for k in range(nsta, n):
255         sqa_mu = np.average(data[k-nsta:k])**2
256         sqa_sigma = np.average(data[k-nsta:k]**2) - sqa_mu
257         if sqa_sigma != 0:
258             fc[k] = (data[k]**2 - sqa_mu) / sqa_sigma
259
260     return fc
261
262
263 def potential_waves(times, data, threshold, tol=0, delta=0, before=0, after=0):
264     """Détece un éventuel séisme à partir du signal d'une fonction caractéristique"""
265     n = len(data)

```



```

266     dt = times[1]-times[0]
267
268     ntol = round(tol/dt)
269     ndelta = round(delta/dt)
270     nbefore = round(before/dt)
271     nafter = round(after/dt)
272
273     potentials = data > threshold
274
275     # Ajoute une tolérance en temps pour la désactivation du dépassement du seuil
276     if ntol > 0: # évite les calculs inutiles
277         i = 0
278         while i < (n-ntol-1):
279             if potentials[i] and not potentials[i+1]:
280                 for j in range(ntol):
281                     if potentials[i+j]:
282                         potentials[i+1:i+j] = 1
283                         i += j
284                 i += 1
285
286     # Vérifie s'il existe un dépassement de seuil assez long
287     if ndelta > 0:
288         i = 0
289         while i < (n-ndelta):
290             if potentials[i]:
291                 j = i
292                 while j < n and potentials[j]:
293                     j += 1
294                 if (j-i) < ndelta:
295                     potentials[i:j] = 0
296                 i += j
297             i += 1
298     potentials[i:n] = 0
299
300     # Ajoute un contour pour sélectionner une plage plus grande
301     if nbefore > 0 or nafter > 0:
302         i = 1
303         while i < (n-1):
304             if potentials[i]:
305                 if not potentials[i-1]:
306                     potentials[max(i-nbefore, 0):i] = 1
307                 if not potentials[i+1]:
308                     potentials[i+1:min(i+nafter+1, n)] = 1
309                 i += nafter
310             i += 1
311
312     return potentials
313
314
315 def point_potentials(data, potentials):
316     """Pointe le début de toutes les potentiellles fenêtre d'arrivée des ondes et les trie par rapport à leur maxi"""
317     above = False
318     points = []
319     for i in range(len(potentials)):
320         if potentials[i]: # cas d'une fenêtre
321             y = data[i]
322             if not above: # pointage du début de la fenêtre
323                 points.append([i, y])
324                 above = True
325             if y > points[-1][1]: # recherche du maximum local de la fenêtre
326                 points[-1][1] = y

```

```

327         elif above:
328             above = False
329
330         # On trie par rapport aux maximums locaux de chaque fenêtre
331         points.sort(key=lambda pair: pair[1], reverse=True)
332         # On ne garde que les indices de pointage
333         return [pair[0] for pair in points]
334
335
336 def possible_picks(picks, earthquake_loc):
337     """Garde les instants compris dans l'intervalle détecté"""
338     return [pick for pick in picks if earthquake_loc[pick]]
339
340
341 def point_lmax(fc, threshold):
342     """Renvoie l'index correspondant au début de l'intervalle dépassant le seuil et comprenant le maximum global"""
343     threshold = 5
344     imax = 0
345     emax = fc[0]
346     n = len(fc)
347     for i in range(1, n):
348         if fc[i] > emax:
349             emax = fc[i]
350             imax = i
351
352     j = imax
353     while j > 0 and fc[j] > threshold:
354         j -= 1
355
356     return j

```

6.3 Code C

```

1  #include <stdlib.h>
2
3  float *stalta_recurziv(float *data, int nsta, int nlta, int N)
4  {
5      float *fc = malloc((sizeof(float) * N));
6      float sta, lta;
7      sta = 0;
8      lta = 0;
9      int i;
10
11     for (i = 0; i < N; i++)
12     {
13         sta = (*(data + i) - sta) / nsta + sta;
14         lta = (*(data + i) - lta) / nlta + lta;
15         if (i > nlta && lta != 0)
16             *(fc + i) = sta / lta;
17         else
18             *(fc + i) = 0;
19     }
20
21     return fc;
22 }
23
24 float *stalta_allen(float *data, int nsta, int nlta, int N)
25 {
26     float average(float *data, int N);
27     float *fc = malloc((sizeof(float) * N));
28     float sta, lta;

```

```
29     int i;
30
31     for (i = 0; i < nlta; i++)
32         *(fc + i) = 0;
33
34     for (i = nlta; i < N; i++)
35     {
36         sta = average(data + i - nsta, nsta);
37         lta = average(data + i - nlta, nlta);
38         *(fc + i) = sta / lta;
39     }
40
41     return fc;
42 }
43
44 float average(float *data, int n)
45 {
46     float s = 0.0;
47     int i;
48     for (i = 0; i < n; i++)
49         s += *(data + i);
50     return s / n;
51 }
52
53 void freeptr(void *ptr)
54 {
55     free(ptr);
56 }
```

Références

- R. Allen. Automatic earthquake recognition and timing from single traces. *Bulletin of the Seismological Society of America*, 68(5) :1521–1532, 1978. doi : 10.1785/BSSA0680051521. URL <https://doi.org/10.1785/BSSA0680051521>.
- R. Allen. Automatic phase pickers : their present use and future prospects. *Bulletin of the Seismological Society of America*, 72(6) :225–242, 1982. doi : 10.1785/BSSA07206B0225. URL <https://doi.org/10.1785/BSSA07206B0225>.
- Olivier Cuenot. Les algorithmes de détection automatique d’ondes sismiques, 2003.
- Y. Gaol Lumban Gaol. Preliminary results of automatic p-wave regional earthquake arrival time picking using machine learning with sta/lta as the input parameters. *IOP Conference Series : Earth and Environmental Science*, 873(1), oct 2021. doi : 10.1088/1755-1315/873/1/012060. URL <https://dx.doi.org/10.1088/1755-1315/873/1/012060>.
- A. Khalaf. *Développement d’une nouvelle technique de pointé automatique pour les données de sismique réflexion*. PhD thesis, Université Pierre et Marie Curie, 2016.
- L. Küperkoch. Automated determination of P-phase arrival times at regional and local distances using higher order statistics. *Geophysical Journal International*, 181(2) :1159–1170, 05 2010. ISSN 0956-540X. doi : 10.1111/j.1365-246X.2010.04570.x. URL <https://doi.org/10.1111/j.1365-246X.2010.04570.x>.
- U. Kradolfer M. Baer. An automatic phase picker for local and teleseismic events. *Bulletin of the Seismological Society of America*, 77(4) :1437–1445, 1987. doi : 10.1785/BSSA0770041437. URL <https://doi.org/10.1785/BSSA0770041437>.
- A. Lomax M. Vassallo, C. Satriano. Automatic picker developments and optimization : A strategy for improving the performances of automatic phase pickers. *Seismological Research Letters*, 83 : 541–554, 05 2012. doi : 10.1785/gssrl.83.3.541.
- Obspy. Obspy : A python toolbox for seismology/seismological observatories. URL <https://github.com/obspy/obspy>.
- S. Stewart. Real-time detection and location of local seismic events in central california. *Bulletin of the Seismological Society of America*, 67(2) :443–452, 1977. doi : 10.1785/BSSA0670020433. URL <https://doi.org/10.1785/BSSA0670020433>.
- S. Lorenz W. Vanderkulk, F. Rosen. Large aperture seismic array signal processing study. *IBM Final Report*, 1965.
- Withers. A comparison of select trigger algorithms for automated global seismic phase and event detection. *Bulletin of the Seismological Society of America*, 88(1) :95–106, 1982. doi : 10.1785/BSSA0880010095. URL <https://doi.org/10.1785/BSSA0880010095>.
- Gregory. Beroza Zhu. Weiqiang. Phasenet : A deep-neural-network-based seismic arrival time picking method. *Geophysical Journal International*, 216, 03 2018. doi : 10.1093/gji/ggy423.